

ضریب طول مؤثر ستون‌های مقطع متغیر در قاب‌های شیب‌دار تک‌دهانه‌ی آزاد در برابر حرکت جانبی و با تکیه‌گاه‌های مفصلی

علی اصغر صفوی (کارشناس ارشد)

حمید محرمی (دانشیار)

دانشکده‌ی فنی و مهندسی، بخش مهندسی عمران، دانشگاه تربیت مدرس

از مهم‌ترین پارامترهای طراحی ستون‌ها ضریب طول مؤثر آنها در کماتش است. برای ستون‌های با مقطع متغیر، در گذشته به دلیل در دست نبودن حل دقیق معادله‌ی دیفرانسیل تغییرشکل، ضریب طول مؤثر به صورت تقریبی و با استفاده از روش‌های عددی تعیین می‌شد. در سال‌های اخیر، با معرفی نرم‌افزارهای توانای ریاضی، می‌توان معادله‌ی دیفرانسیل تغییرشکل را حل، و ضریب طول مؤثر آنها را به صورت دقیق یافت و میزان خطای روش‌های گذشته را بررسی کرد. در این نوشتار با برابر قراردادن «کار خارجی انجام شده روی سازه» با «انرژی ارتجاعی خمشی سازه» در اثر کماتش، بار بحرانی سازه و در نتیجه ضریب طول مؤثر ستون‌های آن به دست آمده است. سازه‌ی مورد نظر یک قاب شیب‌دار یک‌دهانه‌ی متقارن با مقطع متغیر (سوله) است که برای حالت آزاد در برابر حرکت جانبی و با تکیه‌گاه‌های مفصلی مورد بررسی قرار می‌گیرد. پس از تحلیل و به دست آمدن نمودارهای دقیق طراحی که استفاده از آنها بسیار ساده‌تر از نمودارهای آیین‌نامه‌ی *AISC* است، نتایج حاصله با کار دیگران (روش‌های تقریبی) مقایسه شده است.

واژگان کلیدی: ضریب طول مؤثر، ستون‌های مقطع متغیر، قاب شیب‌دار، روش‌های عددی، روش تحلیلی، کار خارجی، انرژی ارتجاعی خمشی.

۱. مقدمه

ماهیچه‌ی و شرایط انتهایی، مخصوصاً زمانی که ستون‌های ماهیچه‌ی با توزیع نیروی محوری در طول خود همراه باشند، منحنی‌ها و جداول مناسبی در دسترس نیست. نتیجه‌ی تحقیقات انجام شده در سال ۱۹۸۹، پاسخگوی دامنه‌ی وسیعی از ستون‌های ماهیچه‌ی با اشکال هندسی گوناگون مقطع بود^[۱] و طی آن، ستون‌ها با تغییرات خطی ابعاد در تمام یا برخی از اجزاء تشکیل‌دهنده‌ی مقطع (بال‌ها و با جان) بررسی شده بودند. شایان ذکر است که در این تحقیق، ستون می‌تواند دارای بارهای محوری متمرکز یا گسترده در طول باشد.

تحقیقات انجام شده تا آن زمان، تماماً بر روی ستون‌های ماهیچه‌ی منفرد بود. برخی از تحقیقات انجام شده پیرامون رفتار و پایداری ستون‌های ماهیچه‌ی تشکیل‌دهنده‌ی قاب‌ها عبارت‌اند از:

۱. محاسبه‌ی ضریب طول مؤثر ستون‌های با مقطع متغیر در قاب‌های شیب‌دار. مبنای این روش استفاده از روش ریلی - ریتز و با الهام از روش سری‌های توانی و حساب تغییرات است^[۱]، و نتیجه‌ی آن یک سری نمودار با علائم و پارامترهای مشابه نمودارهای ژولیان و لورنس است. در این روش قاب متقارن مورد نظر با اعضای مقطع متغیر به یک قاب صلب مستطیلی تبدیل می‌شود

در برخی از سازه‌ها برای استفاده‌ی بهینه از مصالح، از اعضای با مقطع متغیر استفاده می‌شود. تحلیل پایداری قاب‌ها در این‌گونه اعضا، به دلیل متغیر بودن ممان اینرسی اعضای غیرمنشوری آن بسیار مشکل‌تر از قاب‌های با اعضای منشوری است. سال‌هاست که پژوهشگران به دلیل همین مشکلات حل تحلیلی ریاضی، ناچار به استفاده از روش‌های حل عددی و تقریبی شده‌اند.

اولین راه‌حل‌های به‌ثبت رسیده برای محاسبه‌ی بار بحرانی کماتش ارتجاعی ستون‌های ماهیچه‌ی^[۲-۴] تماماً تقریبی بوده، و در آنها ستون ماهیچه‌ی با استفاده از ستون‌های پله‌ی تقریب زده می‌شدند.

روش دقیق محاسبه‌ی بار بحرانی کماتش ارتجاعی ستون‌های ماهیچه‌ی برای اولین بار در سال ۱۹۶۲، و با استفاده از توابع بسط ارائه شد^[۴]. در سال ۱۹۸۰ راه‌حل تقریبی با روش تفاضلات محدود^[۵]، و در سال ۱۹۸۳ راه حل به روش اجزاء محدود^[۶] ارائه شد.

پس از آن، در سال ۱۹۸۶، محققین بازنگری جامع و کلی روی رفتار ستون‌های ماهیچه‌ی انجام داده‌اند^[۷]، آنان نشان داده‌اند که در دامنه‌ی وسیعی از نسبت‌های

۲. به دست آوردن معادله‌ی مشخصه کمانش ستون‌ها

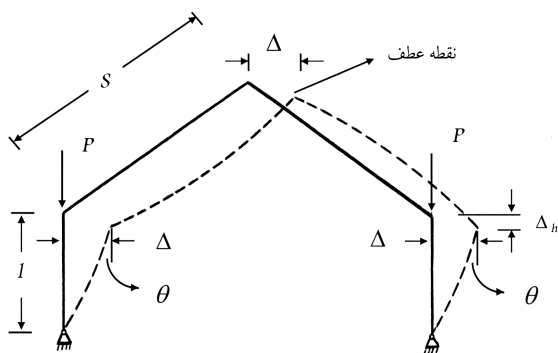
برای مود کمانشی نامتقارن

در این پژوهش فقط حالت کمانشی نامتقارن -- اولین حالت کمانش قاب با حرکت جانبی آزاد -- بررسی می‌شود (شکل ۱). نقاط متناظر دو نیمه‌ی قاب از نظر اندازه تغییر شکل‌های یکسانی دارند. با فرض کمانش ارتجاعی ستون می‌توان معادله‌ی دیفرانسیل تغییر شکل جانبی را در ستونی با تکیه‌گاه مفصلی که به آن نیروی محوری P اثر می‌کند با توجه به شکل ۲ به صورت معادله‌ی ۱ نوشت. توجه به این نکته ضروری است که به خاطر وقوع کمانش نامتقارن و برای ارضاء تعادل نیروهای تکیه‌گاهی قاب در راستای افق، در تکیه‌گاه‌ها نیروی برشی به وجود نمی‌آید.

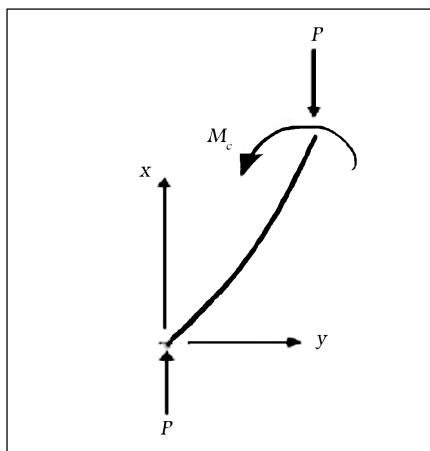
$$M_c = Pv = -EI_c v'' \quad (1)$$

در این رابطه، v تابع جابه‌جایی جانبی ستون است که در راستای محور y است. چون کمانش باعث بروز تغییر شکل ناگهانی در سازه می‌شود و در نتیجه نقطه‌ی اثر نیروی محوری (سرستون) به‌طور آنی پایین می‌افتد (به اندازه‌ی Δ_h)، کار خارجی انجام شده برابر است با: حاصل ضرب نیروها در جابه‌جایی در راستای آنها؛ و حاصل آن برابر است با «مجموع انرژی ارتجاعی در دو ستون (U_c)» به اضافه‌ی «مجموع انرژی ارتجاعی در دو تیر (U_b)» (رابطه‌ی ۲).

$$W_{ext} = 2 \times (P \times \Delta_h) = U_c + U_b \quad (2)$$



شکل ۱. شکل کمانش یافته‌ی قاب در حالت نامتقارن.



شکل ۲. نمودار آزاد بخشی از ستون، از روی تکیه‌گاه.

که دارای دو ستون (در طرفین) و دو تیر (در بالا و پایین) است. در قاب جدید ستون‌ها همان ستون‌های قاب قبلی، و تیرها دارای مقطع ثابت‌اند. ممان اینرسی تیر بالا بر مبنای سختی خمشی تیر متصل به سر ستون، و ممان اینرسی تیر پایین بر مبنای سختی خمشی تکیه‌گاه پای ستون تعیین می‌شود. آنگاه ماتریس سختی قاب جدید در دو حالت حرکت جانبی آزاد و مقید ساخته می‌شود و از معادل صفر قرار دادن درمیان ماتریس سختی، معادله‌ی حاصل می‌شود که کم‌ترین ریشه‌ی آن، بار بحرانی است. شایان ذکر است که این روش مبنای آیین‌نامه‌ی AISC برای تعیین ضریب طول مؤثر ستون‌ها در قاب‌های شیب‌دار است.

۲. حل معادله‌ی دیفرانسیل تقریبی کمانش ستون‌های قاب با اعضای غیرمنشوری همراه با یک سری فرضیات^[۱۹]. در این روش با اعمال شرایط تعادل و پیوستگی درگره‌های آن، روابطی به دست می‌آید که بار بحرانی تقریبی ستون‌های قاب یک‌دهانه و یک‌طبقه -- با مشخصات معلوم -- را ارائه می‌دهد.

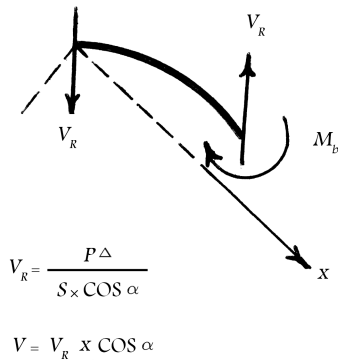
۳. بررسی رفتار تیرستون‌های با مقطع متغیر در خمش و کمانش، براساس روش‌های انرژی^[۱۳]. نتیجه مهمی که از این روش به دست می‌آید آن است که اگرچه ممکن است ستون‌های مقطع متغیر بار بحرانی بیشتری از ستون‌های منشوری هم‌وزن خود داشته باشند، احتمالاً استفاده از آنها در قاب‌های فضایی^۱ بار بحرانی کمانش کلی سازه را کاهش می‌دهد. طی مثال‌هایی نشان داده شده است که این روش، از روش‌های تقریبی نظیر فن انتگرال‌گیری عددی^۲ و استفاده از جزء منشوری، کاراتر و دقیق‌تر است.

۴. روش تقریبی محاسبه‌ی بار بحرانی قاب‌های صفحه‌ی دارای اعضای با مقطع متغیر^[۱۳]. در این روش ستون دارای مقطع متغیر با ستونی معادل جایگزین می‌شود. ستون معادل، منشوری و هم‌طول با ستون اولیه است که ممان اینرسی آن (I_{eq}) با محاسبه و استفاده از نمودارهای بی‌بعد تعیین می‌شود. برای این کار ماتریس سختی کل سازه (براساس جواب معادله‌ی دیفرانسیل تغییر شکل ستون) را به دست آورده و از آن برای تعیین بار بحرانی ستون‌های قاب استفاده کردند.

۵. محاسبه‌ی بار بحرانی برای کمانش ستون‌های با مقطع متغیر در قاب‌های شیب‌دار. در این روش با ساختن ماتریس سختی کل سازه، که تابعی از نیروی محوری اعضا است، اعمال شرایط مرزی در آن ماتریس، و نهایتاً معادل صفر قرار دادن درمیان آن بار بحرانی به دست می‌آید^[۱۴]. شایان ذکر است که در ساخت ماتریس سختی هندسی سازه، به جای تابع دقیق ممان اینرسی ستون -- که برای ستون با جان متغیر و بال یکنواخت، یک تابع درجه سه برحسب متغیر طول است -- از تابعی تقریبی استفاده می‌شود که در آن از ضرایبی به نام ضرایب شکل استفاده شده بود. ماتریس سختی هندسی هر تکه از ستون نیز با استفاده از توابع شکل هرمیتی به دست آورده می‌شود.

۶. یکی دیگر از کارهای تحقیقاتی که در زمینه پیدا کردن طول مؤثر ستون‌های مقطع متغیر انجام شده است، استفاده از فرمول‌بندی روش‌های تفاضل محدود و کار مجازی برای تعیین بار بحرانی ستون‌ها در یک قاب شیب‌دار (سوله) یک‌دهانه^[۱۵] است. در این روش تکیه‌گاه ستون‌ها مفصلی یا گیردار است و تحلیل مسئله برای حالت‌های آزاد و مقید در برابر حرکت جانبی به‌طور جداگانه انجام گرفته است.

چنان‌که ملاحظه می‌شود در همه‌ی روش‌های موجود در ادبیات علمی از روش‌های تقریبی برای یافتن ضریب طول مؤثر ستون‌های مقطع متغیر در قاب‌ها استفاده شده است. در این تحقیق تلاش می‌شود تا به روش تحلیلی به این ضریب دست یابیم.



شکل ۴. نمودار آزاد قسمتی از تیر که از رأس سوله جدا شده است.

که در آن s طول تیر مورب است و مبدأ محور x در تاج قاب شیب دار منظور می شود (شکل ۴). بدین ترتیب تابع لنگر خمشی در طول تیر به صورت رابطه ۸ به دست می آید:

$$M_b = Vx = \frac{P\Delta}{s}x \quad (8)$$

و در نتیجه:

$$U_b = 2 \times \int_0^s \frac{M_b^2}{2EI_b} dx = \int_0^s \frac{\left(\frac{P\Delta}{s}x\right)^2}{EI_b} dx = \frac{1}{E} \left(\frac{P\Delta}{s}\right)^2 \int_0^s \frac{x^2}{I_b} dx \quad (9)$$

(I_b ممان اینرسی تیر در طول آن است.)

با مساوی قرار دادن کار خارجی و انرژی ارتجاعی سازه، و تعریف I_θ طبق رابطه ۱۰ معادله مشخصه بار بحرانی ستون‌ها به دست می آید (معادله ۱۱):

$$I_\theta = \int_0^s \frac{x^2}{I_b} dx \quad (10)$$

$$W_{ext} = P \int_0^l v'' dx = U_c + U_b = -P\Delta \times \theta +$$

$$P \int_0^l v'' dx + \frac{1}{E} \left(\frac{P\Delta}{s}\right)^2 I_\theta \Rightarrow P = \frac{Es^2}{I_\theta} \theta \Delta \quad (11)$$

در روابط فوق Δ ، θ توابع فوق هندسی^۳ مبتنی بر نیروی محوری ستون هستند. بار بحرانی کوچک‌ترین ریشه‌ی معادله مشخصه بالاست.

۳. فرمول‌بندی مسئله برای رسم نمودارهای ضریب طول

مؤثر ستون در قاب‌ها با اعضای I شکل

در این بخش مبنای فرمول‌بندی برای برنامه‌نویسی تعیین ضریب طول مؤثر ستون با تکیه‌گاه مفصلی در قاب شیب‌دار مقطع متغیر با حرکت جانبی آزاد بیان می‌شود. معادله دیفرانسیل تغییر شکل ستون با تکیه‌گاه مفصلی در قاب شیب‌دار با حرکت

چنان که مشاهده می‌شود Δ_h ، تقریباً برابر است با:

$$\Delta_h = \int_0^{l-\Delta_h} \sqrt{1+v''^2} dx - l \approx \int_0^l \left(1 + \frac{v''^2}{2}\right) dx - l = \frac{1}{2} \int_0^l v''^2 dx \quad (3)$$

در کمناش ارتجاعی فرض می‌شود که تغییر شکل خمشی ستون در ناحیه ارتجاعی حادث می‌شود. بنابراین، می‌توان از تعریف انرژی ارتجاعی خمشی استفاده کرد (I_c ممان اینرسی ستون در هر نقطه از آن و E مدول کشسانی آن است). با جایگذاری $-EI_c v''$ به جای یک توان از M_c ، و Pv به جای دیگر از M_c در رابطه انرژی، می‌توان نوشت:

$$U_c = 2 \times \int_0^l \frac{M_c^2}{2EI_c} dx = \int_0^l \frac{M_c \times M_c}{EI_c} dx \Rightarrow U_c = \int_0^l Pv \times \left(\frac{-EI_c v''}{EI_c}\right) dx = \int_0^l -Pv v'' dx \quad (4)$$

با استفاده از روش جزء به جزء، انتگرال انتهایی به رابطه ۵ تبدیل می‌شود:

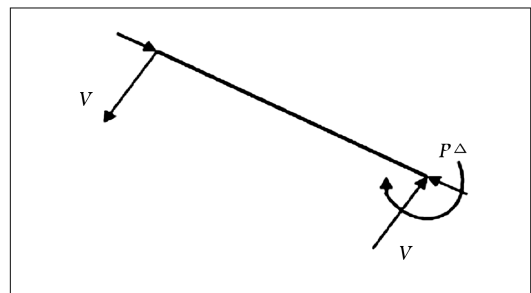
$$\Rightarrow U_c = \int_0^l -Pv v'' dx = -P \left(v v' - \int v'^2 dx \right) \Big|_0^l = -P(\Delta \times \theta) + P \int_0^l v'^2 dx \quad (5)$$

می‌دانیم که:

$$\Delta = v_l \quad \theta = v'_l \quad (6)$$

Δ جابه‌جایی افقی، و θ زاویه دوران در سر ستون است. به همین ترتیب می‌توان مجموع انرژی خمشی تیرها را تعریف کرد. در حالت کمناش نامتقارن، لنگر در تاج (رأس) ستون‌های قاب شیب‌داری که در برابر حرکت جانبی آزاد و تکیه‌گاه‌های مفصلی است، معادل صفر می‌شود (نقطه‌ی عطف). از طرفی لنگر داخلی در بالای ستون برابر است با $P\Delta$ ، و بنابراین با در نظر گرفتن نمودار آزاد یک تیر، نیروی برشی به صورت شکل ۳ درخواهد آمد:

$$V = \frac{P\Delta}{s} \quad (7)$$



شکل ۳. نمودار آزاد یک تیر.

با به دست آوردن مقدار $I_c(x)$ از رابطه‌ی ۱۸، آن را در رابطه‌ی ۱۳ جایگزین می‌کنیم و آنگاه از تقسیم طرفین تساوی حاصله بر $\frac{1}{17} t_w d_s^2$ خواهیم داشت:

$$\frac{P}{E \left(\frac{1}{17} t_w d_s^2\right)} \nu + \left(\frac{\gamma}{l} x + 1\right)^2 \left[\left(\frac{\gamma}{l} x + 1\right) + \epsilon \frac{A_f}{t_w d_s} \right] \nu'' = 0 \quad (19)$$

در نظر می‌گیریم:

$$t_w d_s = A_w, \quad m = \frac{A_f}{A_w} \quad (20)$$

و آنگاه از رابطه‌ی ۱۹ به رابطه‌ی ۲۱ خواهیم رسید:

$$\frac{P}{E \left(\frac{1}{17} t_w d_s^2\right)} \nu + \left(\frac{\gamma}{l} x + 1\right)^2 \left[\left(\frac{\gamma}{l} x + 1\right) + \epsilon m \right] \nu'' = 0 \quad (21)$$

مقدار ضریب طول مؤثر به مقدار ضریب کشسانی بستگی ندارد (می‌توان آن را برابر واحد در نظر گرفت). همچنین می‌توان نشان داد که اگر طول تمام اعضا بر عدد ثابتی نظیر l (طول ستون) تقسیم شود، در مقدار ضریب طول مؤثر تغییری به وجود نمی‌آید^[۱۶]. در واقع با این کار قابی جدید حاصل می‌شود که از لحاظ هندسی با قاب پیشین متشابه است. در قاب جدید طول ستون‌ها برابر واحد، و طول تیرها برابر $\frac{s}{l}$ (نسبت طول تیر به طول ستون در قاب اولیه) است. پس اگر $l = 1, E = 1$ ، آنگاه:

$$P_{cr} = \frac{\pi^2 I_s}{(K_\gamma)^2} \quad (22)$$

که در آن P_{cr} بار بحرانی، I_s ممان اینرسی مقطع در پای ستون و حول محور عمودمنصف جان، K_γ ضریب طول مؤثر، و l ارتفاع ستون است.

به علاوه می‌توان ثابت کرد که اگر ممان اینرسی تمام نقاط یک سازه (تیرها و ستون‌ها) بر عدد ثابتی نظیر $\frac{1}{17} t_w d_s^2$ تقسیم شود باز هم در مقدار ضریب طول مؤثر تغییری به وجود نمی‌آید^[۱۶]. با تقسیم ممان اینرسی ستون در پای آن (I_s) بر عدد ثابت $\frac{1}{17} t_w d_s^2$ می‌توان نوشت:

$$\frac{I_s}{\frac{1}{17} t_w d_s^2} = \frac{\frac{1}{17} t_w d_s^2 + \frac{1}{4} A_f d_s^2}{\frac{1}{17} t_w d_s^2} = 1 + \epsilon m \quad (23)$$

بنابراین با تقسیم طرفین رابطه‌ی ۲۲ بر $\frac{1}{17} t_w d_s^2$ می‌توان پارامتر p را به صورت رابطه‌ی ۲۴ تعریف کرد:

$$p = \frac{P_{cr}}{\frac{1}{17} t_w d_s^2} = \frac{\pi^2 I_s}{(K_\gamma)^2 \frac{1}{17} t_w d_s^2} = \left(\frac{\pi}{K_\gamma}\right)^2 (1 + \epsilon m) \quad (24)$$

حال رابطه‌ی ۲۱ را می‌توان به صورت رابطه‌ی ۲۵ نوشت:

$$p \nu + (\gamma x + 1)^2 [(\gamma x + 1) + \epsilon m] \nu'' = 0 \quad (25)$$

با حل معادله‌ی دیفرانسیل ۲۵ (توسط نرم‌افزار *MATLAB*)، تابع تغییرشکل جابه‌جایی (ν) به دست می‌آید. چون تنها یک شرط مرزی برای حل این تابع وجود دارد ($\nu = 0$) تابع جواب برحسب ثابت عددی نامشخص به دست می‌آید. حال طبق رابطه‌ی ۱۱ (معادله‌ی مشخصه) برای تعیین بار بحرانی باید میزان چرخش و جابه‌جایی سر ستون در دسترس باشد. بدین منظور یک بار مقدار تابع جابه‌جایی ν برای $x = 1$ محاسبه می‌شود و Δ به دست می‌آید، بار دیگر مقدار مشتق تابع ν

جانبی آزاد عبارت است از:

$$P \nu + E I_c(x) \nu'' = 0, \quad \nu_s = 0 \quad (12)$$

که در آن $I_c(x)$ ممان اینرسی ستون در فاصله‌ی x از پای آن است. از تقسیم دو طرف تساوی بر E رابطه‌ی ۱۳ به دست می‌آید:

$$\frac{P}{E} \nu + I_c(x) \nu'' = 0 \quad (13)$$

برای I_s و $I_c(x)$ می‌توان رابطه‌های ۱۴ و ۱۵ را نوشت:

$$I_s = \frac{1}{17} t_w d_s^2 + \frac{1}{4} A_f d_s^2, \quad A_f = b_f t_f \quad (14)$$

$$I_c(x) = \frac{1}{17} t_w d_x^2 + \frac{1}{4} A_f d_x^2 \quad (15)$$

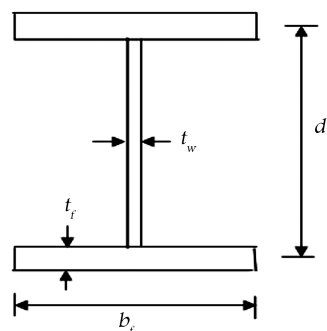
با معرفی پارامتر γ رابطه ۱۷ به دست می‌آید.

$$\gamma = \frac{d_T}{d_s} - 1 \quad (16)$$

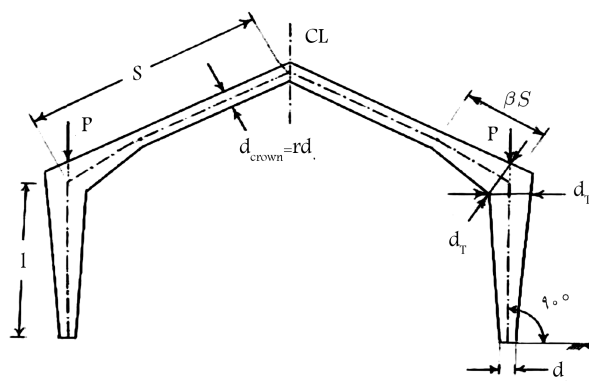
$$d_x = d_s \left(\frac{\gamma}{l} x + 1\right) \quad (17)$$

در روابط بالا t_w ضخامت جان، d_s فاصله‌ی مرکز به مرکز دو بال مقطع (عمق مؤثر) در پای ستون، A_f مساحت بال ستون، t_f و b_f عرض و ضخامت بال مقطع اعضا، d_T عمق مؤثر ستون در بالای آن، γ نسبت عمق مؤثر ستون در بالای آن به عمق مؤثر ستون در پای آن منهای یک، l طول ستون و d_x عمق مؤثر ستون به فاصله‌ی x از پای ستون هستند (شکل‌های ۵ و ۶). با جایگذاری $(\frac{\gamma}{l} x + 1)$ d_s به جای d_x در رابطه‌ی ۱۵ می‌توان نوشت:

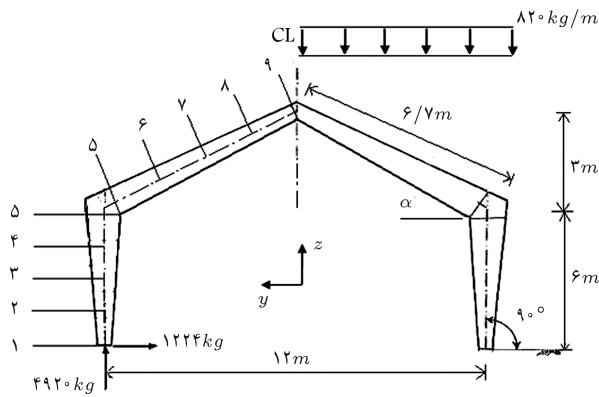
$$I_c(x) = \left[d_s \left(\frac{\gamma}{l} x + 1\right) \right]^2 \left[\frac{1}{17} t_w d_s \left(\frac{\gamma}{l} x + 1\right) + \frac{1}{4} A_f \right] \quad (18)$$



شکل ۵. مقطع پای ستون.



شکل ۶. مشخصات هندسی قاب شیبدار.



مقطع ستون	$d(cm)$	$A(cm^2)$	$I_X(cm^4)$	$S_X(cm^3)$	$r_X(cm)$
۱	۲۰	۲۰	۱۵۲۷	۱۴۵	۸٫۷
۲	۳۰	۲۴	۳۶۹۱	۲۳۸	۱۲٫۴
۳	۴۰	۲۸	۷۰۵۴	۳۴۴	۱۵٫۹
۴	۵۰	۳۲	۱۱۸۱۷	۴۶۳	۱۹٫۲
۵	۶۰	۳۶	۱۸۱۸۱	۵۹۶	۲۲٫۴
مقطع تیر					
۵	۶۰	۳۶	۱۸۱۸۱	۵۹۶	۲۲٫۴
۶	۵۴	۳۳٫۶	۱۴۱۵۹	۵۱۵	۲۰٫۵
۷	۴۸	۳۱٫۲	۱۰۷۴۳	۴۴۷	۱۸٫۵
۸	۴۲	۲۸٫۸	۷۸۸۸	۳۶۷	۱۶٫۵
۹	۳۶	۲۶٫۴	۵۵۵۲	۳۰۰	۱۴٫۵

شکل ۷. شکل هندسی و مشخصات مقاطع در یک مثال نمونه.

۴. حل مثال

در این قسمت دو مثال آورده شده است که هرکدام از آنها یک بار با روش پیشنهادی این مقاله، و یک بار با روش پیشنهادی Lee^[۱۰] که توسط آئین نامه AISC توصیه شده است، حل می شوند. در قسمت نتیجه گیری این دو روش با هم مقایسه می شوند. مثال ۱: ضریب طول مؤثر ستون های قاب شیب دار شکل ۷ به دهانه ۱۲ متر خواسته شده است. شدت بار گسترده 82 kg/m ، طول تیر 670 سانتی متر، طول ستون 600 سانتی متر و زاویه ی تیر با افق α است.

الف) حل با روش پیشنهادی

برای ستون ها داریم:

$$\gamma_{1-5} = \frac{d_5}{d_1} - 1 = \frac{60}{20} - 1 = 2$$

به علاوه چون تمام طول تیر ماهیچه بی است $(\beta = 1)$ ، از نمودار با شرایط $\beta = 1$ و $\gamma = 2$ استفاده می شود (شکل ۸). در این سوله

$$r = \frac{d_{crown}}{d_5} = \frac{36}{60} = 0,6$$

و به ازای $n = \frac{s}{L} = \frac{670}{6000} = 0,1116$ در منحنی $r = 0,6$ خواهیم داشت: $K_\gamma = 1,04$

برای $x = 1$ محاسبه، و θ تعیین می شود. یادآور می شود که با تقسیم این دو مقدار بر هم، ثابت عددی نامشخص از صورت و مخرج کسر $\frac{\theta}{\Delta}$ ساده می شود.

اینک باید $I_b = \int_0^{\frac{s}{l}} x^r dx$ را به دست آورد. (از آنجا که قرار شد طول تمام اعضا به طول ستون تقسیم شود، به جای s از $\frac{s}{l}$ به عنوان طول کل تیر استفاده می شود). نسبت «عمق مؤثر تیر (فاصله ی مرکز به مرکز دو بال) در رأس قاب شیب دار به عمق مؤثر ستون در پای آن»، را با حرف r نمایش می دهیم. همان اینرسی تیر در قسمت منشوری آن برابر است با:

$$I_b(x) = \frac{1}{12} t_w r^2 d^3 + \frac{1}{4} A_f r^2 d^3 \quad 0 < x < (1 - \beta) \frac{s}{l} \quad (26)$$

β نسبت طول قسمت ماهیچه یی تیر به کل طول آن است.

همان اینرسی مقطعی از قسمت ماهیچه یی تیر که فاصله ی آن از رأس قاب شیب دار است، به صورت رابطه ی ۲۷ به دست می آید: (برای $x < \frac{s}{l} (1 - \beta)$)

$$I_b(x) = \frac{1}{12} t_w (rd_0)^2 \left[1 + \gamma_b \frac{x - (1 - \beta) \frac{s}{l}}{\beta \frac{s}{l}} \right]^2 + \frac{1}{4} A_f (rd_0)^2 \left[1 + \gamma_b \frac{x - (1 - \beta) \frac{s}{l}}{\beta \frac{s}{l}} \right]^2 \quad (27)$$

برای تعیین ضریب طول مؤثر، همان اینرسی ستون بر مقدار $\frac{1}{12} t_w d_0^3$ تقسیم شده است و بنابراین، در محاسبه ی I_b نیز باید همان اینرسی قسمت های منشوری و ماهیچه یی تیر بر $\frac{1}{12} t_w d_0^3$ تقسیم شود. با انجام این کار I_b مطابق رابطه ی ۲۸ به دست می آید:

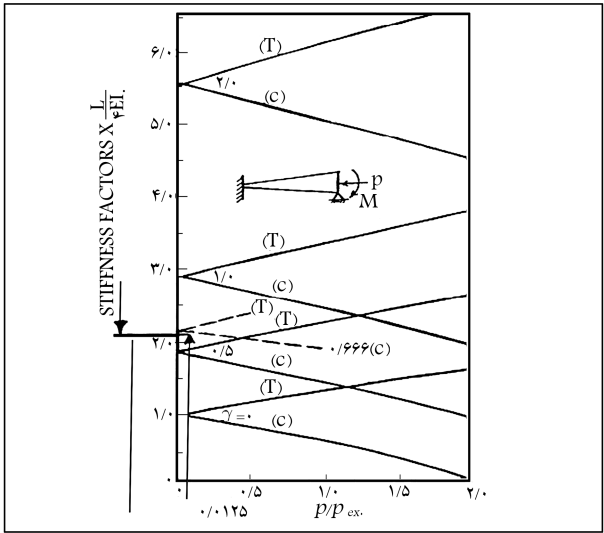
$$I_b = \int_0^{(1-\beta)\frac{s}{l}} \frac{x^r}{r^2 + 6mr^2} dx + \int_{(1-\beta)\frac{s}{l}}^{\frac{s}{l}} \frac{x^r}{r^2 + 6mr^2} dx \quad (28)$$

$$\left\{ r^2 \left[1 + \gamma_b \frac{x - (1-\beta)\frac{s}{l}}{\beta \frac{s}{l}} \right]^2 + 6mr^2 \left[1 + \gamma_b \frac{x - (1-\beta)\frac{s}{l}}{\beta \frac{s}{l}} \right]^2 \right\}$$

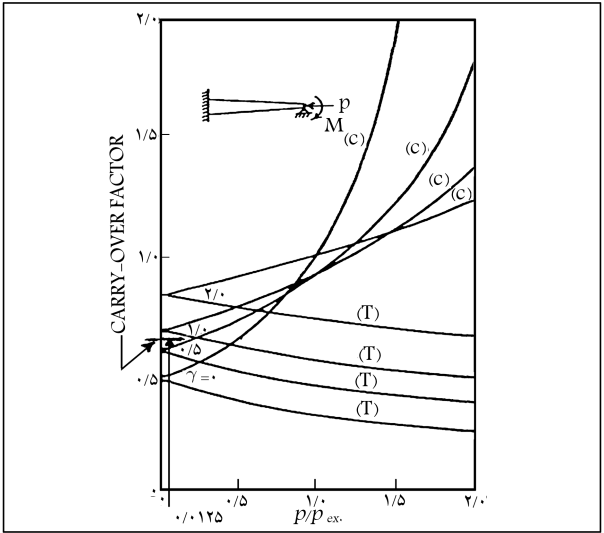
مقدار رابطه ی ۲۸ را نرم افزار محاسبه می کند و بدین ترتیب I_b نیز محاسبه می شود. حال می توان نوشت:

$$p = \frac{\left(\frac{s}{l}\right)^r \theta}{I_b \Delta} \quad (29)$$

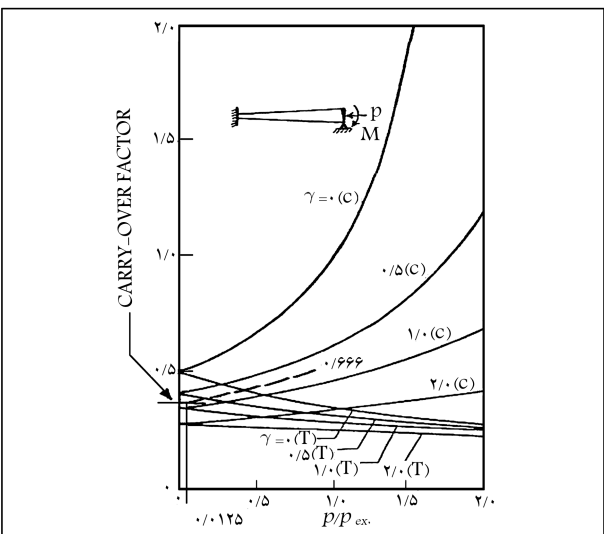
θ ، تابعی برحسب p هستند و رابطه ی ۲۹ معادله یی برحسب مجهول p است. کم ترین مقدار غیر صفر p که در این رابطه صدق کند، p_{cr} است. به این ترتیب ضریب طول مؤثر (K_γ) نیز از رابطه ی ۲۴ تعیین می شود. برای زوج معین β و γ یک نمودار رسم می شود که در آن محور افقی، نماینده ی نسبت $\frac{s}{l}$ و محور قائم نماینده ی K_γ است. هر نمودار شامل چند منحنی است که هر کدام برای یک r مشخص رسم می شود. با معلوم کردن β و r در برنامه، به ازاء نسبت های مختلف $\frac{s}{l}$ در یک بازه ی مشخص و با کمک معادله ی ۲۹، بار بحرانی و در نتیجه K_γ متناظر به دست می آید. پس از جایگذاری نقاط حاصله در دستگاه مختصات نمودار (K_γ) برحسب $(\frac{s}{l})$ و آنگاه وصل کردن آن نقاط، یک منحنی رسم می شود^[۱۶].



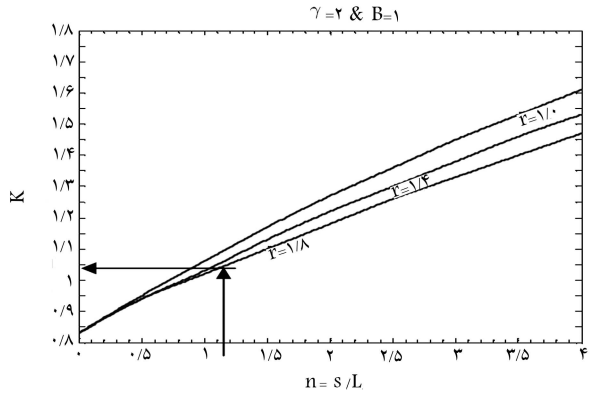
شکل ۹. مقادیر $K_{AA} \times b / (4EI_c)$.



شکل ۱۰. ضریب انتقال لنگر (C_{BA}) .



شکل ۱۱. ضریب انتقال لنگر (C_{AB}) .



شکل ۸. یکی از نمودارهای ضریب طول مؤثر برای قاب آزاد در برابر حرکت جانبی - تکیه‌گاه مفصلی و $\gamma = 2$ و $\beta = 1$.

ب) حل با روش پیشنهادی ۱۹۷۲

از آنجا که تیر متصل به بالای ستون دارای مقطع متغیر است باید ممان اینرسی معادل آن به کمک روابط و منحنی‌های این روش تعیین شود. برای این کار ابتدا مقادیر زیر به دست می‌آیند:

$$\gamma_{5-9} = \frac{d_5}{d_9} - 1 = \frac{60}{36} - 1 = 0,666$$

$$\alpha = \tan^{-1} \left(\frac{300}{600} \right) = 26,56^\circ$$

نیروی محوری تیر (P_5) و بار اویار ستون دو سر مفصل (P_{e9}) ، که طول آن با طول تیر مورب و ممان اینرسی آن با ممان اینرسی تیر در انتهای کوچک آن برابر است، به دست می‌آید:

$$P_5 = 4920 \sin \alpha + 1224 \cos \alpha = 3295 \text{ kg}$$

$$P_{e9} = \frac{\pi^2 EI_9}{s^2} = \frac{\pi^2 \times 2,1 \times 10^6 \times 5552}{670^2} = 256341 \text{ kg}$$

$$\frac{P_5}{P_{e9}} = \frac{3295}{256341} = 0,0125$$

(در شکل‌های ۹ تا ۱۱، T و C به ترتیب نماینده‌ی فشاری و کششی بودن نیروی موجود در تیر است.)

با توجه به این که $\gamma_{5-9} = 0,666$ و $0,0125$ و نیز با استفاده از شکل‌های ۹ تا ۱۱ ضرایب سختی و انتقال لنگر به دست می‌آیند:

$$K_{AA} = 2,1 \left(\frac{4EI_9}{bT} \right) \quad C_{BA} = 0,63 \quad C_{AB} = 0,38$$

به کمک رابطه‌ی زیر ممان اینرسی تیر معادل تعیین می‌شود:

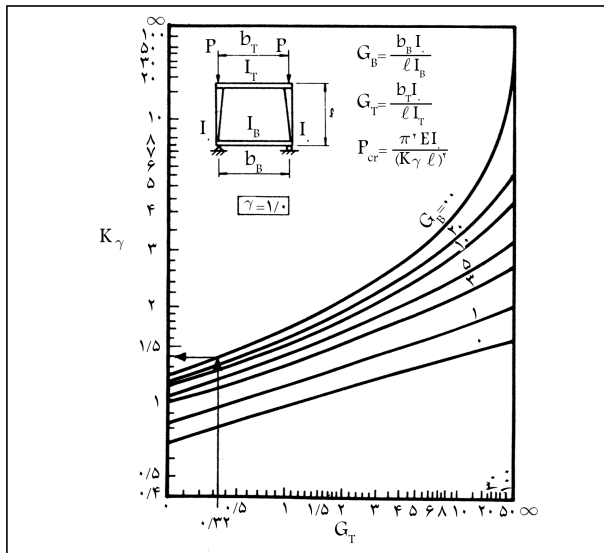
$$I_T = \frac{670}{3E} \times 2,1 \left(\frac{4E \times 5552}{670} \right)$$

$$(1 - 0,38 \times 0,63) = 11824 \text{ cm}^4$$

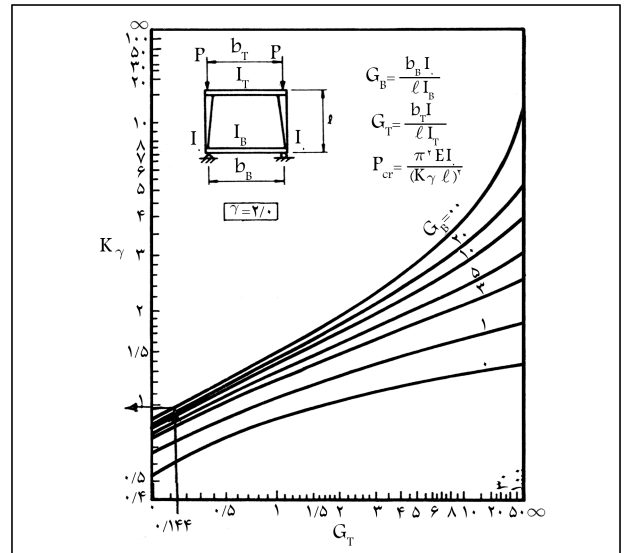
$$G_T = \frac{bT I_s}{l I_T} = \frac{670 \times 1527}{600 \times 11824} = 0,144$$

برای ستون ۱-۵ (ستون سمت چپ) داریم:

$$\gamma_{1-5} = \frac{d_5}{d_1} - 1 = 2$$



شکل ۱۴. ضریب طول مؤثر ستون‌ها با $\gamma = 1/2$ در قاب آزاد در برابر حرکت جانبی [۱۰].



شکل ۱۲. ضریب طول مؤثر ستون‌ها با $\gamma = 2$ در قاب آزاد در برابر حرکت جانبی [۱۰].

و به‌ازای $n = \frac{s}{L} = \frac{670}{600} = 1.116$ در منحنی $r = 1/2$ خواهیم داشت:
 $K_\gamma = 1.5$

(ب) حل مثال با روش پیشنهادی ۱۹۷۲

$$I_0 = \frac{1}{12} \times 0.4 \times 30^2 + \frac{1}{12} \times 12 \times 0.5 \times 30^2 = 3600 \text{ cm}^4$$

چون در تیرها نیروی محوری به وجود نمی‌آید، با در نظر گرفتن مقدار صفر روی محور افقی شکل‌های ۹ تا ۱۱ و در نظر داشتن $0.666 = 2/3 = 0.666$ مقادیر سختی و ضرایب انتقال به دست می‌آیند:

$$K_{AA} = 2.23 \left(\frac{4EI_0}{b_T} \right) \quad C_{BA} = 0.63 \quad C_{AB} = 0.38$$

برای تعیین I_T :

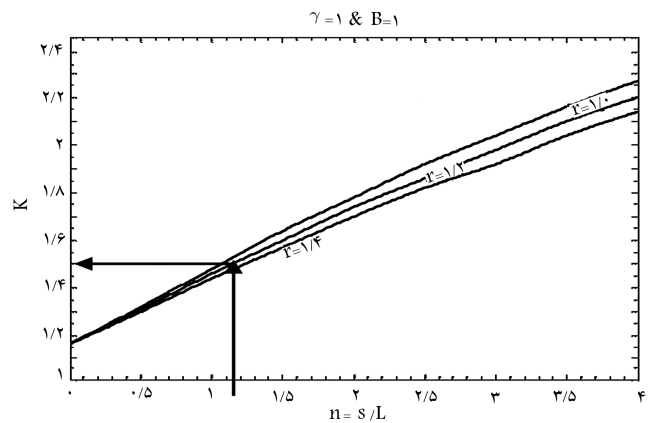
$$I_T = \frac{670}{3E} \times 2.23 \left(\frac{4E \times 5552}{670} \right) (1 - 0.38 \times 0.63) =$$

$$12555 \text{ cm}^4$$

$$G_T = \frac{b_T I_0}{l I_T} = \frac{670 \times 3600}{600 \times 12555} = 0.32$$

با استفاده از نمودار ضریب طول مؤثر برای ستون با $\gamma = 1$ و منحنی ∞ (شکل ۱۴):

$$K_\gamma = 1.4$$



شکل ۱۳. یکی از نمودارهای ضریب طول مؤثر برای قاب آزاد در برابر حرکت جانبی - تکیه‌گاه مفصلی و $\gamma = 1$ و $\beta = 1$.

مقدار نظری G_B برای تکیه‌گاه مفصلی بی‌نهایت است؛ بنابراین با استفاده از نمودار شکل ۱۲ برای ضریب طول مؤثر داریم: (در محور افقی این شکل به جای G از حرف R استفاده شده است).

$$K_\gamma = 0.99$$

مثال ۲: مثال ۱ با فرض آنکه عمق ستون در تکیه‌گاه برابر با ۳۰ سانتی‌متر منظور شده، ابعاد تیر تغییر داده نشود و بار قائم به صورت متمرکز بر سر ستون‌ها وارد شود، دوباره حل می‌شود. در این مثال γ ستون برابر ۱ به دست می‌آید ($1 = 1 - \frac{60}{30} = \gamma$) و نیروی محوری تیرها صفر می‌شود.

(الف) حل مثال با روش پیشنهادی

چون تمام طول تیر مایه‌چی است ($\beta = 1$)، از نمودار با شرایط $\gamma = 1, \beta = 1$ استفاده می‌شود (شکل ۱۳). در این سوله

$$r = \frac{d_{crown}}{d} = \frac{36}{30} = 1.2$$

۵. نتیجه‌گیری

در این نوشتار تعیین بار بحرانی (و ضریب طول مؤثر) ستون‌های قاب‌های شیب‌دار آزاد در برابر حرکت جانبی با تکیه‌گاه‌های مفصلی، با روش انرژی و با کمک حل دقیق معادله‌ی دیفرانسیل تغییرشکل ارائه شده است. نهایتاً معادله‌ی مشخصه‌ی به دست آمد که کوچک‌ترین ریشه‌ی آن بار بحرانی است. با بررسی مسئله درمی‌یابیم:

(الف) چنانکه از روند حل مثال‌ها فهمیده می‌شود راه رسیدن به جواب با روش پیشنهادی بسیار ساده‌تر است و در ضمن نزدیکی جواب‌های دو مثال، روش

حالت در نظر می‌گیرد -- فقط به این دلیل که از حرکت جانبی قاب جلوگیری نشده است! روش پیشنهادی فاقد چنین فرض نادرستی است.
 ب) مشاهده می‌شود که بار بحرانی و ضریب طول مؤثر ستون‌ها در شرایط مورد مطالعه (که بار قائم به صورت متمرکز روی ستون‌ها اعمال می‌شود) به سختی خمشی تیر و ستون وابسته است و به زاویه‌ی شیب تیر مورب (α) بستگی ندارد.

پیشنهادی حاشیه‌ی ایمنی بالاتری دارد. اگر لازم باشد اثر نیروی محوری در سختی خمشی تیرهای مورب در نظر گرفته شود، اعمال بار قائم بر قاب شیب‌دار باید به‌گونه‌ی باشد که در تیرها نیروی محوری به‌وجود آید؛ مثلاً باید بار را به‌طور گسترده بر قاب وارد کرد. در اثر اعمال چنین باری، دو سر ستون‌ها از هم دور شده و کمانش متقارن رخ می‌دهد. آیین‌نامه‌ی *AISC* علی‌رغم کمانش متقارن قاب، و به‌تبع بررسی‌های محققین^[۱۰]، کمانش نامتقارن (شکل ۱) را برای این

پانوشت

1. space frames
2. numerical integration technique
3. hypergeometric

منابع

1. Timoshenko, S.P. "Buckling of bars of variable cross section", Bulletin of the Polytechnic Institute, Kiev, U.S.S.R (1908).
2. Morley, A. "Critical loads for long tapering struts", Engr., London, England, pp.104, 295 (1917).
3. Dinnik, A.N. "Design of columns of varying cross section", Translated from Russian by Majetz, Transactions, ASME 51, APM-51-11 (1929) and ASME54, APM-54-16 (1932).
4. Gere, J.M., and Carter, W.O. "Critical buckling loads for tapered columns", *Journal of Structural Division. ASCE*, **88**(1), pp.1-11 (1962).
5. Iremonger, M.J. "Finite difference buckling analysis of nonuniform columns", *Comput. Struct.*, **12**(5), pp. 741-748 (1980).
6. Karabalis, D.L., and Beskos, D.E. "Static, dynamic and stability analysis of structures composed of tapered beams", *comput. Struct.* **16**(6), pp. 731-748 (1983).
7. Banerjee, J.R., and Williams, F.W. "Exact bernoulli-euler static stiffness matrix for a range of tapered beam-columns", *Int. J. Number. Methods Eng.*, **23**(9), pp. 1615-1628 (1986).
8. Ermopoulos, J.C. "Buckling of tapered bars under stepped axial loads", *ASCE*, **112**(6), pp. 1346-1354 (1986).
9. Williams, F.W., and Gary, Aston. "Exact or lower bound tapered columns buckling loads", *ASCE*, **115**(5), pp.1088-1100 (1989).
10. Lee, G.C.; Morrell, M.L. and Ketter, R.L. "Design of tapered members", *Welding Research Council Bulletin*, (173) (June 1972).
11. Irani, F. "Stability of one bay symmetrical frames with non-uniform members", *Journal of Engineering Islamic Republic of Iran*, **1**(4) (Nov.1988).
12. Al-Gahtani, H.J. "Exact stiffness for tapered members", *Journal of Structural Engineering*, **122**(10), pp. 1234-1239 (1996).
13. Nikitas, B., and Dimitris, L.K. "Efficient computation of buckling loads for plane steel frames with tapered members" (2004). and <http://www.elsevier.com/locate/engstruct>
14. Shaverdi, y., "The effective length of members of varying cross sections" M.Sc. Thesis, Isfahan University of Technology, Isfahan, Iran (1997).
15. Safavi, A.A. and Moharrami, H. "The Critical load evaluation of tapered columns in gabled frames using finite difference and virtual work method." *Proceeding of 3rd National Congress on Civil Engineering, Tabriz, Iran*, (1-3 may 2007).
16. Safavi, A.A. "The effective length of tapered columns in gabled frames" M.Sc. Thesis, Tarbiat Modarres University, Tehran, Iran (2006).